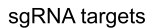
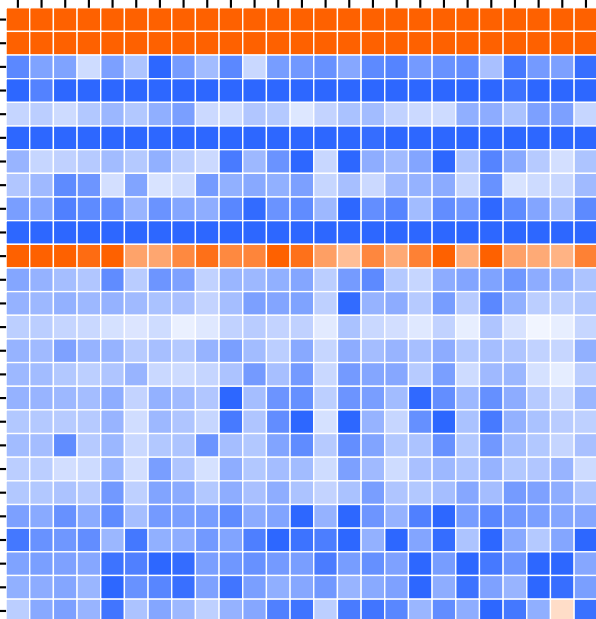


pyruvate_to_aceCoA Log2FC Heatmap



PP_0751_PP_0813_PP_0815
PP_0528_PP_0751_PP_0815
PP_0528_PP_0751_PP_0812_PP_0815
PP_0528_PP_0751_PP_0813_PP_0815
PP_0368_PP_0751_PP_0815
PP_0368_PP_0751_PP_0813_PP_0815
PP_0368_PP_0814_PP_0815
PP_0368_PP_0751_PP_0812_PP_0815
PP_0368_PP_0751_PP_0814_PP_0815
PP_0812_PP_0813_PP_0815
PP_0528_PP_0813_PP_0815
PP_0751_PP_0815
PP_0528_PP_0812_PP_0815
PP_0368_PP_0813_PP_0814_PP_0815
PP_0814_PP_0815
PP_0813_PP_0814_PP_0815
PP_0812_PP_0813_PP_0815_PP_1506
PP_0368_PP_0815
PP_0437_PP_0815_PP_1317
PP_0368_PP_0812_PP_0813_PP_0815
PP_0528_PP_0815
PP_0815_PP_2136
PP_0368_PP_0812_PP_0815_PP_2136
PP_0368_PP_0751_PP_0812
PP_0812_PP_0815_PP_1506

PP_2793
PP_2794
acsA1
cyoA
dnaN
emrA
gnuK
ilvI
kguE
nicB
phnX
rplA
rplE
rplM
rplR
rplW
rplX
rpsF
rpsI
rpsJ
rpsL
rpsQ
rpsS
sucC
sucD
valS



Log2FC